

## 自動車荷車による仮設桁および懸垂管の振動性状について(その1)

大阪市  
日本開発研究所  
中央復建

正員 道田淳一  
正員 吉田隆一  
正員 横山康夫

1. はじめに：地下鉄、下水道工事など道路を開き工法で大規模に掘る場合、路面上に配置されていだ埋設物は露出して懸垂保護される。これには普通図-1のような仮設桁によることが多く、すなわち土留杭頭部に支承金物をもつけ、これに架けた懸垂桁が吊り下げる構造となるのである。しかし路面荷重を支える覆工桁と同様支承金物によって支持されており、路面荷重は覆工桁→支承金物→懸垂桁→懸垂管の順序で伝達され、懸垂管に路面荷重の影響があらわれる。

本測定はこれらの構造系が覆工板上を通る自動車荷車によって受けける振動性状を測定し、これら相互の伝達や、減衰状況を把握し、さらに懸垂ボルト及び懸垂管絆手の応力等を測定して、今後の埋設物懸垂に関する基礎資料を得んとするものである。

## 2. 測定箇所(図-1)

(1) 振動加速度の測定：覆工桁①、支承金物②③、懸垂桁⑧、懸垂管⑤。

(2) 応力の測定：懸垂ボルトφ13<sup>mm</sup>⑤⑥⑦、懸垂管絆手部測点1, 2, 3, 4。

(3) たわみ測定：覆工桁⑧。

## 3. 測定計器

振動加速度：非接着抵抗線

型、容量1G, 2G, 5G, DPM-6AT動歪測定器、FR101電磁オシログラフ。

ひずみ：単軸6<sup>mm</sup>, 2軸20<sup>mm</sup>ポリエスチルゲージ、DPM-6AT, FR101。

たわみ：ハチ代KY-1。

## 4. 荷重

(1) 一般車走行によるもの：大型トラック、バス等大型車を選択し、約30台の記録をとる。

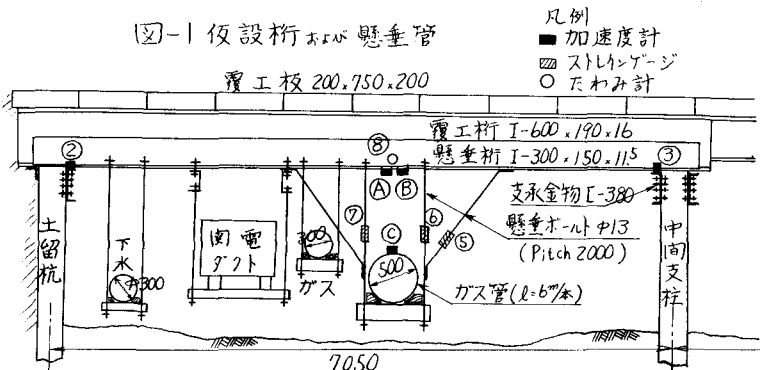
(2) 試験車の走行によるもの：大型トラック、満載17t、空車7t。速度30, 40, 50km/h。走行位置、覆工桁スパン中央及び支承寄り。測定回数3回。

(3) 静的載荷：最大たわみの生ずる位置

(4) 自由振動：試験車の車両を覆工板上の障害物に乗り上げ、次に落下させ桁に自由振動を発生させる。

## 5. 測定結果

(1) 一般車通過時の構造系各部の振動性状



覆工板上を走行する車による振動は覆工桁とそれを支撐する杭とかうなる構造等によって吸収されるが、支承金物によって懸垂桁に伝えられ、漸次減少しあがる懸垂管まで伝達される。その値は表-1に示す通りである。

#### (2)振動と車両の重量、走行速度との関係

振動は車両の重量、速度によって増加するが、表-2からもわかるように重量よりも速度の影響の方が強い。

#### (3)覆工桁のたわみ

升(表-3)

#### (4)覆工桁から懸垂管への振動の減衰状況

表-4に示す通

り、ガス管の振動Cは覆工桁の振動Aの10%以下であることがわかった。

#### (5)覆工桁、懸垂板の固有周期

表-5の実測値と計算値の差は支点の条件のちがいと思われる。

#### (6)懸垂ボルトの応力(表-6)

懸垂ボルトの見かけの応力は $225 \text{ kg/cm}^2$ 以下である。さらにガス管の死荷重を考慮すると実際の応力は $220 \text{ kg/cm}^2$ と推定され、 $\pm 13\%$ で十分安全である。

#### (7)ガス管締目部の応力

図-2の測点1, 2, 3, 4.について測定したが動歪はすべて $5 \times 10^{-6}$ 以下であり、締目部にはほとんど応力の発生をみなかった。

図-2

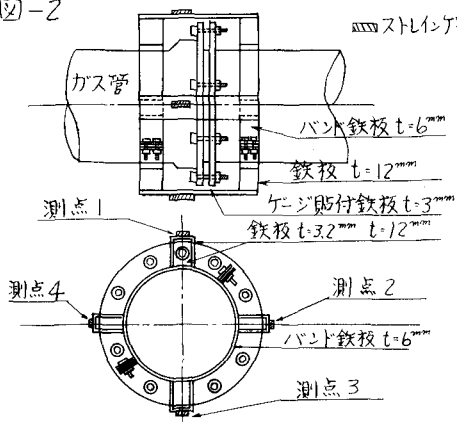


表-1 振動力の速度最大値(gal)

測定点	N113	N107
覆工桁(A)	1980	1516
支承金物(2)	68	55
支承金物(3)	139	109
懸垂桁(B)	143	198
ガス管(C)	47	60

N113, N107: 懸垂桁の番号

表-2 車両重量速度と振動加速度(約gal) N113

測定点	満載車(17t)	空車(7t)
30	40	50
支承金物(3)	88	90
懸垂桁(B)	807	1031
ガス管(C)	21	21
支承金物(3)	54	65
懸垂桁(B)	84	87
ガス管(C)	41	51
支承金物(3)	78	88
懸垂桁(B)	23	26
ガス管(C)	21	21

表-3 覆工桁の最大たわみ(mm)

測定箇所	最大たわみ	備考
N113	5.78	l/1220
N107	5.15	l/1370

但し一般車走行時

表-4 振動の減衰状況(%)

測定箇所	車種	比	スパン中央	スパン内側
N113	満載車	B/A	4.0~10.3	4.7~11.2
		C/B	32.8~53.0	32.9~32.6
		C/A	1.9~5.0	2.2~5.1
	空車	B/A	3.7~6.3	4.0~10.0
		C/B	20.9~60.9	30.8~46.3
		C/A	1.1~3.4	1.5~6.5
N107	空車	B/A	10.6~17.0	15.2~23.3
		C/B	39.3~61.1	26.1~58.2
		C/A	9.5~7.3	5.2~10.9

表-5 固有周期

測定点	測定箇所	固有周期(sec)	実測値	計算値
覆工桁	N113	$E_1$ min	0.072	0.086
			0.069	
ガス管	N107	$E_1$ max	0.064	0.079

表-6 懸垂ボルトの応力(kg/cm<sup>2</sup>)

測定箇所	N113	N107	摘要
最大応力			
$E_1$ min	-67	-160	$E_1$ min に対する応力
$E_2$ max	101	176	$E_2$ max "
$E_3$ max	57	76	$E_3$ max "
$E_4$ max	124	225	$E_4$ max = ( $E_1$ + $E_3$ ) max
最小応力			
$E_1$ min	77	-16	$E_1$ min = $E_2$ + $E_3$ min
$E_1$ max	201	220	$E_1$ max = $E_2$ + $E_3$ max